

МИНИСТЕРСТВО НАУКИ И ВЫСШЕГО ОБРАЗОВАНИЯ

РОССИЙСКОЙ ФЕДЕРАЦИИ

Федеральное государственное бюджетное образовательное учреждение высшего
образования

РЯЗАНСКИЙ ГОСУДАРСТВЕННЫЙ РАДИОТЕХНИЧЕСКИЙ УНИВЕРСИТЕТ ИМЕНИ В.Ф.
УТКИНА

Кафедра радиоуправления и связи

МЕТОДИЧЕСКИЕ МАТЕРИАЛЫ

по дисциплине (модулю)

«Оконечные устройства радиоэлектронных систем передачи информации»

Направление подготовки

11.05.01 «Радиоэлектронные системы и комплексы»

Направленность (профиль) подготовки

Радиосистемы и комплексы управления

Уровень подготовки специалитет

Программа подготовки специалитет

Квалификация выпускника – инженер Форма обучения – очная

Рязань 2025

4712

МИНИСТЕРСТВО ОБРАЗОВАНИЯ И НАУКИ РОССИЙСКОЙ ФЕДЕРАЦИИ
РЯЗАНСКИЙ ГОСУДАРСТВЕННЫЙ РАДИОТЕХНИЧЕСКИЙ УНИВЕРСИТЕТ

УСТРОЙСТВА СВЧ АНТЕННЫХ РЕШЕТОК

Методические указания
к лабораторным работам

УДК 621.396.67

Устройства СВЧ антенных решеток: методические указания к лабораторным работам / Рязан. гос. радиотехн. ун-т; сост.: А.В. Мато-рин, Б.В. Кагаленко. Рязань, 2013. 20 с.

Содержат краткие теоретические сведения об устройствах СВЧ, описание программы *Microwave Office*, порядок выполнения работ.

Предназначены для студентов ФРТ, обучающихся по курсу «Антенны с электронным управлением».

Ил. 18. Библиогр.: 3 назв.

Антенные решетки с электронным управлением, устройства СВЧ, автоматизированное проектирование, параметрический синтез

Печатается по решению редакционно-издательского совета Рязанского государственного радиотехнического университета.

Рецензент: кафедра радиоуправления и связи Рязанского государственного радиотехнического университета (зав. кафедрой проф. С.Н. Кириллов)

Устройства СВЧ, используемые при выполнении лабораторных работ

1. Шлейфный ответвитель

Устройства СВЧ антенных решеток

Составители: Маторин Александр Васильевич

Кагаленко Борис Васильевич

Редактор Н.А. Орлова

Корректор С.В. Макушина

Подписано в печать 06.09.13. Формат бумаги 60 x 84 1/16.

Бумага газетная. Печать трафаретная. Усл. печ. л. 1,25.

Тираж 50 экз. Заказ 2742

Рязанский государственный радиотехнический университет.

390005, Рязань, ул. Гагарина, 59/1.

Редакционно-издательский центр РГРТУ.

Цели лабораторных работ

1. Изучение некоторых типов устройств СВЧ, используемых в схемах распределительных трактов антенных решеток.
2. Практическое знакомство с элементами автоматизированного проектирования устройств СВЧ.
3. Приобретение навыков построения машинных моделей устройств СВЧ с использованием библиотеки базовых элементов.
4. Приобретение навыков работы с программой *Microwave Office*, обеспечивающей автоматизированный анализ и параметрический синтез многоэлементных устройств СВЧ.

5. Практическое знакомство с методикой конструктивного синтеза устройств СВЧ.

Лабораторные работы выполняются каждым студентом индивидуально, требуют предварительной подготовки в объеме разделов курса, в которых рассматриваются вопросы применения устройств СВЧ в схемах построения распределительных систем антенных решеток:

- схемы построения распределительных систем антенных решеток на основе закрытого тракта и пространственных распределительных систем;
- математическое моделирование элементов антенных решеток с использованием матричных систем параметров;
- элементы автоматизированного проектирования устройств СВЧ.

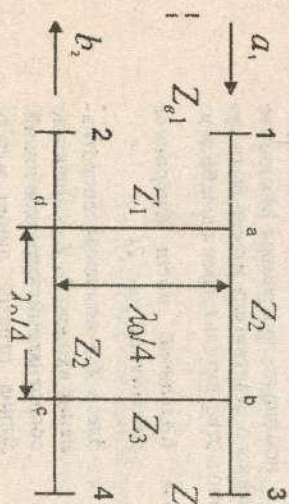


Рис. 1

Такое устройство широко применяется в микрополосковом исполнении, его можно реализовать также на симметричных, полосковых, коаксиальных, волноводных и других одномодовых линиях передачи. Симметричные линии шлейфного ответвителя с

волновыми сопротивлениями Z_1, \dots, Z_3 могут быть выполнены, например, в форме кольца. Длины отрезков этих линий, соединяющих входные и выходные плечи ответвителя, как указано на рис. 1, выбираются равными четверти длины волны. Устройство обладает двумя плоскостями симметрии,

следовательно, волны b_1 и b_2 сдвинуты по фазе на $\pi/2$, т.е. такой ответвитель относится к классу квадратурных.

Качественно принцип действия шлейфного направленного ответвителя можно объяснить следующим образом. Примем фазу волн, поступающей на вход плеца 1, нулевой. Из плеца 1 часть энергии по пути ав поступает в плецо 3, причем волна будет иметь свидиг по фазе $\pi/2$. В плеце 4 поступает две волны равной амплитуды, одна по пути авс, а вторая по пути адс. Эти волны синфазны и суммарная волна сдвинута по фазе на π . В плеце 2 также приходит две волны по путям ад и авсд, но уже противофазные, т.е. плецо 2 оказывается развязанным по отношению плеца 1.

Шлейфный направленный ответвитель обладает еще одним полезным свойством: он дополнительно может обеспечивать согласование при неравных сопротивлениях нагрузок, подключенных к его входному и выходным плачам, а также неравное деление мощностей.

На рис. 1 приведены следующие обозначения: Z_{av} - волновые сопротивления входов 1 и 2, Z_{ad} - волновые сопротивления входов 3 и 4, Z_1, \dots, Z_4 - волновые сопротивления отрезков, образующих кольцо по шлейфному ответвителю. Если обозначить отношения мощностей на выходе плецов 3 и 4 через K , т.е. $K = P_3 / P_4$, то можно показать, что волновые сопротивления элементов кольца могут быть определены по следующим формулам:

$$Z_3 = Z_{a2} \sqrt{K}, Z_2 = \sqrt{Z_{a2} Z_{a1} K / (1 + K)}, Z_1 = Z_{a1} \sqrt{K}.$$

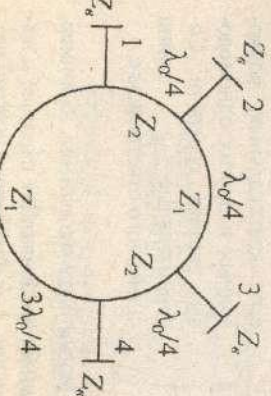
Эти соотношения позволяют быстро рассчитать шлейфный направленный ответвитель на резонансной частоте. Для определения полосы рабочих частот и учета влияния высших типов волн необходимо более точное моделирование с помощью программы Microsoft Office. Рабочая полоса частот шлейфного ответвителя может быть существенно увеличена, если применить ответвитель с тремя шлейфами.

2. Кольцевой мост (гибридное соединение, рис. 2)

Здесь Z_{av} - волновые сопротивления входов, Z_1, Z_2 - волновые сопротивления отрезков линий. Длина отрезка линии между входами 1 и 4 составляет $3\lambda_0/4$, остальные линии имеют длину $\lambda_0/4$.

3. Дискретные фазовращатели на коммутационных диодах

Рис. 2



Кольцевой мост может быть выполнен на основе микрополосковых, полосковых, коаксиальных или волноводных линий.

Качественно принцип действия кольцевого моста может быть рассмотрен на основе следующих рассуждений. Волна, поступившая на вход плеца 1, проходит в плецы 2 и 4. Фазовый свидиг между волнами в плецах 2 и 1, очевидно, равен $\pi/2$, а в плецах 4 и 1 - $3\pi/2$. Поскольку во втором случае волна проходит по кольцу путь в 3 раза больший, следовательно, фазовый свидиг между волнами на входах 2 и 4 будет равен π .

Рассматривающие амплитуды волн на выходах 2, 3 и 4 определяются суперпозицией 2-х волн, одна из которых, при возбуждении входа 1, распространяется от плеца 1 по часовой, а другая - против часовой стрелки. Эти волны складываются на выходах 2 и 4 и вычитаются на выходе 3. Следовательно, плецы 1 и 3 развязаны. Наличие фазового свидига на величину π между волнами, проходящими в плецах 2 и 4, ширококо используется, например, в балансных смесителях и преобразователях частоты с подавлением тех или иных гармонических составляющих.

Рассматриваемый кольцевой делитель может обеспечить и неравное деление мощностей. Величина мощности, поступающей в каждое из плецов 2 и 4, зависит от выбора волновых сопротивлений отрезков, образующих кольцо. На центральной частоте в одном одновременном приближении связь между мощностями P_2 и P_4 на выходах 3 и 4 и волновым сопротивлением Z_1 и Z_2 описывается следующими формулами:

$$Z_{a0} / Z_1 = \sqrt{P_4 / P_1}, Z_{a0} / Z_2 = \sqrt{P_2 / P_1}.$$

На центральной частоте свидиг по фазе между волнами в плецах 2 и 4 равен π . Если мощность поступает в плецо 2, то

$$Z_{a0} / Z_1 = \sqrt{P_3 / P_2}, Z_{a0} / Z_2 = \sqrt{P_1 / P_2}.$$

В этом случае волны, поступающие на входы 3 и 1, синфазны. Приведенные соотношения позволяют рассчитать гибридные соединения на центральной частоте, в том числе для случая неравного деления мощностей.

Многопозиционные отражательные фазовращатели часто выполняют в виде отрезка линии передачи, шунтированного в ряде сече-

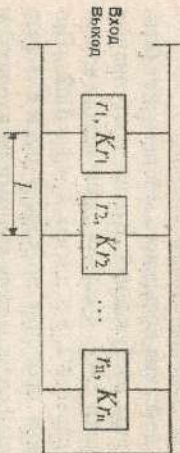


Рис. 3
вещественный параметр качества.

В рассмотриваемой схеме отражательного фазовращателя один из коммутационных элементов с низким сопротивлением ($\Gamma \ll 1$) закорачивает линию передачи, а остальные элементы имеют высокие сопротивления ($K\Gamma \gg 1$). Они оказывают слабое влияние на фазу коэффициента отражения. При переключении коммутационных элементов фаза коэффициента отражения на входе отражательного фазовращателя изменяется дискретно.

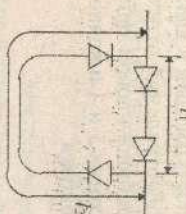


Рис. 4

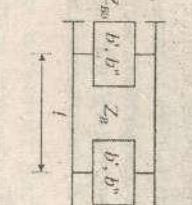


Рис. 5

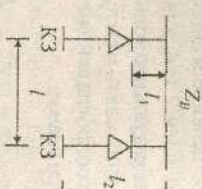


Рис. 6

Проходные фазовращатели должны обеспечивать заданную разность фаз прошедшей волны при двух условиях: согласование входов и импульсное вносимое затухание.

Одним из вариантов таких устройств является проходной однодиодный фазовращатель на коммутируемых линиях (рис. 4).

Изменение фазы коэффициента передачи:

$$\Delta\psi = k_0(l_2 - l_1),$$

где k_0 — постоянная распространения, происходит в результате изменения пути прохождения волны по линии l_1 или по линии l_2 , осуществляемого р-п-диодным переключателем. Вносимое ослабление

ние L в таком фазовращателе при параметре качества $K > 100$ слабо зависит от $\Delta\psi$.

Фазовращатели на

коммутируемых линиях нерационально использовать при $\Delta\psi \leq \pi/4$.

Схема двухпозиционного фазовращателя в виде нагруженной линии изображена на рис. 5. Основными параметрами этой схемы являются: шунтирующие проводимости (jb', jb'') , электрическая длина отрезка линии l и его волновое сопротивление Z_g . Практически интересен симметричный случай $b' = -b''$.

В этом случае обеспечиваются почти одинаковые полосы пропускания в двух состояниях и наилучшая широкополосность. Номиналы элементов схемы определяются по формуле:

$$b' = \operatorname{tg}(\Delta\psi/2), k_0 l = \pi/2, Z_g = Z_{g0} \cos(\Delta\psi/2).$$

Если в качестве коммутируемых элементов использовать короткозамкнутые отрезки линий (рис. 6), то при $\Delta\psi < \pi/2$ длина короткозамкнутых отрезков:

$$l_1 = \frac{\arctg(\operatorname{ctg}(\Delta\psi/2))}{2\pi}, l_2 = \frac{l}{2} - l_1.$$

Такие фазовращатели недоступно использовать при $\Delta\psi > 45^\circ$.

Весьма распространенным в трактах СВЧ являются проходные фазовращатели мостового типа (рис. 7). Двухвзаимонный фазовращатель образован включением двух идентичных отражательных фазовращателей на коммутиционных диодах во взаимно развязанные выходы 3-дюймового квадратурного моста СВЧ. При коэффициенте отражения отражательных фазовращателей $|\Gamma| = 1$ мощность, подаваемая на вход 1, будет проходить на вход 2. Фаза волны, прошедшей на вход 2, определяется фазой ко-

мутационных диодов во взаимно развязанные выходы 3-дюймового квадратурного моста СВЧ. При коэффициенте отражения отражательных фазовращателей $|\Gamma| = 1$ мощность, подаваемая на вход 1, будет проходить на вход 2. Фаза волны, прошедшей на вход 2, определяется фазой ко-

Многозаписочный проходной фазовращатель выполняют в виде каскадного соединения двухпозиционных фазовращателей. Наиболее распространенным по числу диодов является фазовращатель, выполненный по бинарной схеме. В этом случае каскадно соединяются p проходных секций, первая из которых обеспечивает дискрет π , вторая - $\pi/2$, третья - $\pi/4$ и т.д.

Общее число фазовых состояний 2^p , что обеспечивает перекрытие фазы 0- 2π с дискретом, который определяется секцией, дающей наименьший фазовый сдвиг. Бинарный фазовращатель может состоять из разнотипных секций. Обычно секции с фазовым сдвигом π или $\pi/2$ выполняются по мостовой схеме или на коммутируемых отрезках линий, а секции с малыми фазовыми сдвигами - в виде фазовращателей на нагруженных линиях.

Краткие сведения о программе Microsoft Office

Microwave Office – это инструмент для анализа высокочастотных устройств, позволяющий автоматизировать процесс их проектирования. **Microwave Office** позволяет полностью выполнить проектирование от технического задания до производства не выходя из среды разработки.

нейное моделирование, усовершенствованный гармонический баланс, ряды Вольтерра и 3-мерное электромагнитное моделирование (EM-Sight); в последнем случае анализ устройства базируется на численном решении системы уравнений Максвелла. Результаты могут выводиться в различных графических формах или в таблицах в зависимости от цели проводимого анализа. Можно настраивать или оптимизировать устройства и все изменения немедленно и автоматически отражаются на графиках и в топологии.

При выполнении лабораторных работ будет использоваться только линейное моделирование.

РИС. 3

Использование

Используется для цепей, не содержащих нелинейные элементы. Методом узловых потенциалов рассчитываются комплексные значения коэффициентов матриц рассеяния, сопротивлений, проводимостей и множество других параметров линейных многополосников, а также параметров, производных от этих величин (например, КСВ).

Моделирование шлемфрикционных отверстий

Для создания нового проекта

2. Выберите File> New Project или щелкн

2. *Oblique* are new subjects from previous and current project).

3. Выберите **File>Save Project As**.
4. В открывшемся окне **Save AS** наберите имя проекта (на-
именование папки)

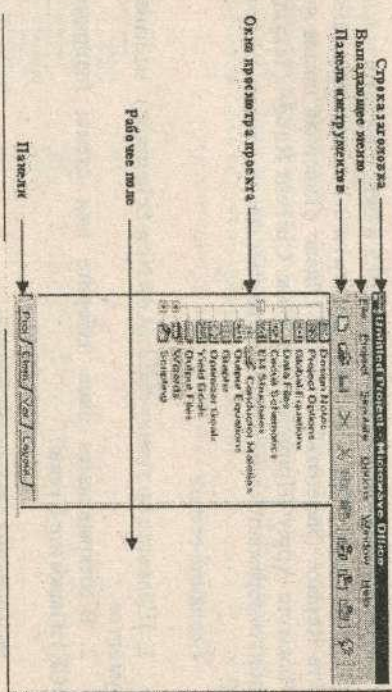
Запуск программы Microwave Office

Чтобы запустить программу Microwave Office

нажмите комбинацию Пуск и выберите Программы > AWRDE 10 > AWB Design Environment 10 или дважды щелкните на рабочем

столе иконку **AWR 11**. Откроется главное окно **Microwave Office**, изображенное на рис. 8.

7



7. В поле **Data Entry Units** установите **GHz**.
 8. В поле **Modify Range** наберите 9.5 в окне **Start** (Начальная частота), 10.5 в окне **Stop** (Конечная частота) и 0.1 в окне **Step** (Шаг).
 отметьте **Replace** (Заменить), отметьте **Linear** (Линейная шкала частоты). Нажмите **Apply** (Применить). В окне **Current Range** (Текущий диапазон) отображается частотный диапазон и шаг по частоте. Нажмите **OK**.

Создание схемы

1. Щёлкните по значку (Add New Schematic) на панели инструментов.
 2. В открывшемся окне наберите имя схемы (например, **BRIDGE**) и нажмите **Create**.

Размещение элементов в схеме

1. Нажмите панель **Element** и откройте меню **Circuit Elements**.
 2. Щёлкните по значку + слева от группы **Microstrip** в окне просмотра элементов.
 3. Щёлкните по подгруппе **Lines**.
 4. Найдите модель **MLIN**, пользуясь полосой прокрутки, затем переместите её в окно схемы и зафиксируйте, щёлкнув левой кнопкой мыши. Повторите операцию для остальных таких же элементов, разместив их в местах, приближительно соответствующих их расположению в схеме.
 5. Щёлкните по подгруппе **Junctions** в окне просмотра элементов.
 6. Найдите модель **MMEES** (тройник), пользуясь полосой прокрутки, переместите её в окно схемы и зафиксируйте, щёлкнув левой кнопкой мыши. Повторите операцию для остальных таких же элементов.
- Замечание: ориентацию элемента на схеме можно изменять до его фиксации щелчком правой кнопки. Если элемент задфиксирован, его ориентацию можно изменять, щёлкнув по нему правой кнопкой и выбрав из открывшегося меню опцию **Rotate**.*
7. Перемещая мышью элементы, соедините их в схему и добавьте порты в соответствующем порядке. Для добавления порта щёлкните значок (Порт) и присоедините порт к соответствующей точке схемы.
 8. Чтобы добавить подложку, щёлкните по группе **Substrates** (подложки) в окне просмотра элементов.

*Замечание: тип подложки, необходимой для конкретного типа элементов, можно определить, щёлкнув по этому элементу любой кнопкой; в открывшемся окне редактирования параметров элементов в закладке **Parameters** в последней строке*

столбца **Name** будет указан тип подложки в данном случае – **MSUB**.

9. Перетащите выбранный элемент в окно схемы, поместице его на свободном месте, например, ниже схемы.

10. Дважды щёлкните по элементу **MSUB** в окне схемы. Откроется окно редактирования параметров подложки. Введите:

$E_r=2.6$ – относительная диэлектрическая проницаемость;

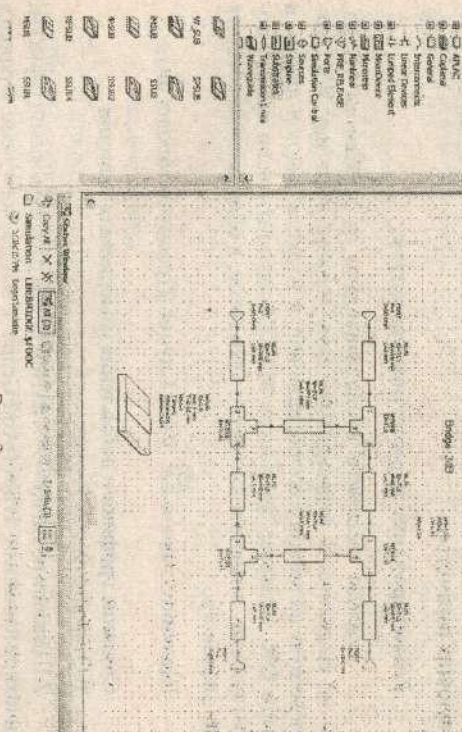


Рис. 9

$H=0.5$ – толщина подложки;

$T=0.02$ – толщина проводника;

$R_{t_0}=1$ – удельное сопротивление металла проводника, нормированное к золоту;

$\text{Tang}=0$ – тангенс угла потерь в диэлектрике подложки, $\text{ErNom}=2.6$ – номинальная диэлектрическая проницаемость;

$\text{Name}=SUB1$ – имя подложки.

11. Щёлкните **OK**. Схема готова. (рис. 9).

Расчет параметров элементов схемы

Волновое сопротивление линий, соединяющих порты с элементами моста и линий, обозначенных на схеме **TL7** и **TL8**, должно равняться **50 Ом**, что соответствует сопротивлению портов. Волновое сопротивление линий, обозначенных на схеме **TL5** и **TL6**, должно быть близким к **50*sqrt(2)** Ом. Длина всех линий, соединяющих

треугольники – $L = \lambda / 4$. Рассчитывать ширину (**W**) и длину (**L**) линий можно с помощью калькулятора, входящего в состав **Microwave Office**. Чтобы его открыть, щелкните **Tools > TXLine**, введите центральную частоту, параметры подложки, волновое сопротивление линии и электрическую длину линии, соответствующую физической длине $L = \lambda / 4 (90^\circ)$, и щелкните .

В окнах **PhysicalLength (L)** и **Width(W)** появятся значения соответствующих параметров.

Редактирование параметров элементов

Дважды щёлкните последовательно по элементам **MLIN**, чтобы их выделить. В открывшемся окне введите величину **W**, соответствующую волновому сопротивлению и **L**-длине каждой линии, и нажмите **OK**. Размеры элементов **MTEES** автоматически примут соответствующие значения (свойство элементов, в обозначение которых входит знак **\$**).

Щёлкните значок  **View Layout** (Просмотр топологии).

Создание графика и добавление измеряемых величин

1. Откройте панель **Project**.
2. Щёлкните по значку  **Add New Graph** (Добавить новый график) на панели инструментов или **Project > Add Graph** в выпадающем меню. Откроется окно **New Graph**.

3. Введите имя графика (например, **BRIDGE**) в поле **Graph name** (Имя графика), выберите **Rectangular** (Прямоугольный) в области **Graph Type** (Тип графика) и нажмите **Create**.
4. Щёлкните правой кнопкой мыши по окончку с именем графика (**BRIDGE**) в окне просмотра проекта и выберите **Add Measurement** (Добавить измерение).
5. Выберите **Port Parameter** в списке **Measurement Type**, **S** в списке **Measurement**, **BRIDGE** в поле **Data Source Name**, **1** в поле **To Port Index** (Индекс входного порта) и в поле **From Port Index** (Индекс выходного порта), нажмите на стрелки справа от этих полей, отмечьте **DB** в области **Result Type** и **Mag** в области **Complex Modifier**, нажмите **Apply**.

6. Выберите **2** в поле **To Port Index** и нажмите **Apply**.
7. Выберите **3** в поле **To Port Index** и нажмите **Apply**.
8. Выберите **4** в поле **To Port Index** и нажмите **Apply**.
9. Нажмите **OK** (рис. 10).

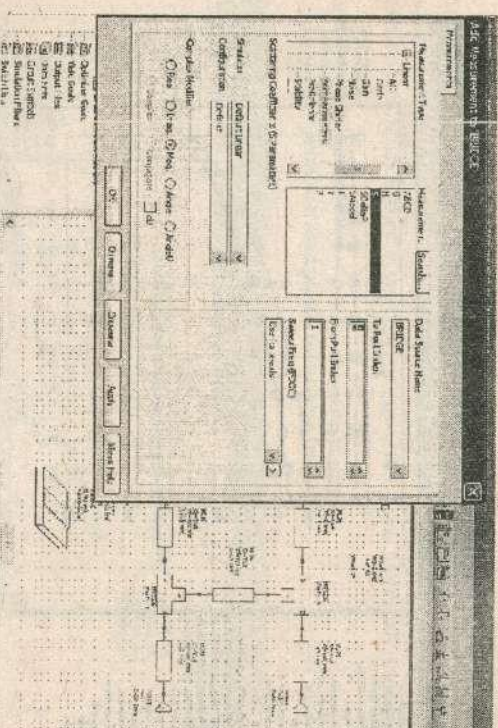


Рис. 10

Анализ схемы

Щёлкните по значку  **Analyze** на панели инструментов. Результаты анализа отображаются на графике (рис. 11).

Как правило, результаты моделирования не соответствуют требуемым значениям параметров – модули **S11** и **S21** на центральной частоте должны быть минимальным (обычно не более $-30 \dots -50$ дБ), а **S31** и **S41** – около -3 дБ. В этом случае необходимо воспользоваться инструментом **Type** (Настройка), давшим возможность изменять параметры элементов схемы, одновременно наблюдая изменения соответствующих графиков.

Настройка схемы

Обычно для настройки достаточно изменить длину и ширину линий, образующих мост. Целесообразно ввести обозначения (например, **L1**, **W1** и **W2**) и, щелкнув значок  **Equation**, присвоить им соответствующие значения (например, **W1=1.28**). Аналитично записываются уравнения для других параметров (рис. 12). Далее необходимо заменить в окне **relaxation** численные значения параметров элементов схемы на их обозначения. На рис. 16 обозначение **W0** присвоено ширине линий, соединяющих порты с входом имоста, а их длина – 5 мкм.



Рис. 11

Щёлкнув значок Type Tool (инструмент настройки), и затем, щелкнув появившимся в окне схемы инструментом в виде отвёртки с крестиком по параметрам, подлежащим настройке, получим возможность изменять эти параметры с помощью инструмента Type, который открывается щелчком по значку .

В результате настройки получаем (рис. 13)

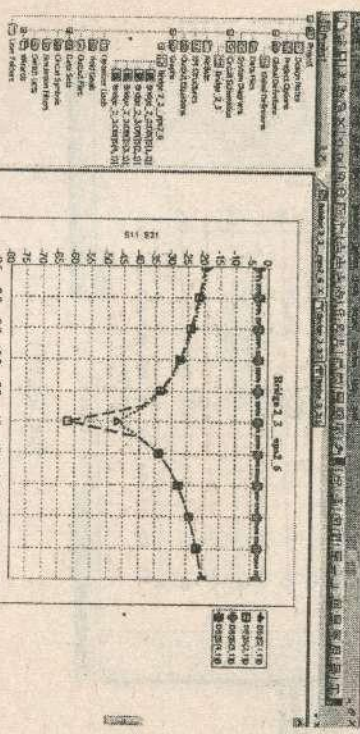


Рис. 13

$$\begin{aligned} W_1 &= 1.28 \\ W_2 &= 2 \\ L_1 &= 3.83 \end{aligned}$$

$$W_0 = 1.25$$

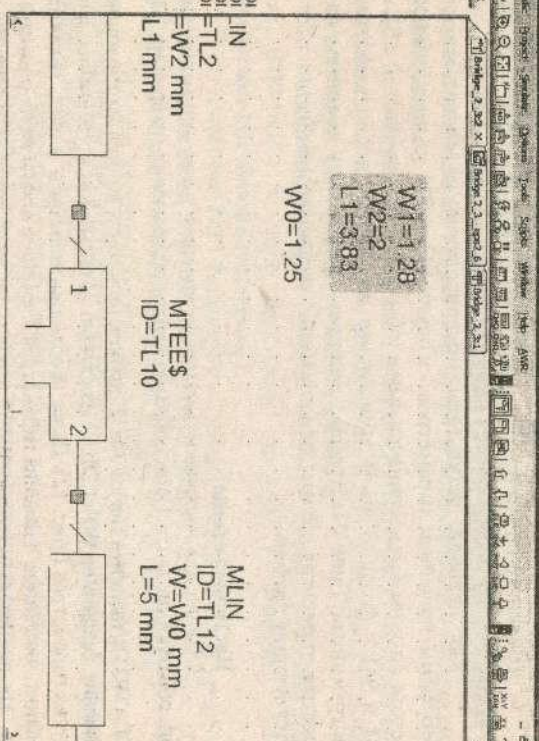
$$\begin{aligned} S_3 &= 31.0 \\ S_4 &= 29.6719 \\ L_2 &= 2.308625 \\ M_{TEE} &= 10 \\ W &= W_0 \text{ mm} \\ L &= 5 \text{ mm} \end{aligned}$$

Чтобы сделать результаты моделирования более наглядным, целесообразно графики, соответствующие параметрам S_3 и S_4 , привязать к правой Y -оси. Для этого, щелкнув правой кнопкой по полю графика и щелкнув Properties, в открывшемся окне откроите закладку Measuremen, назначьте графикам S_3 и S_4 положение Right, затем, выделив Left 1, в окне Limits уберите флагок в окошке Auto limits и в окошках Min и Max поставьте -70 и -10.

Затем пролейте такую же операцию для правой Y -оси, щелкнув правой кнопкой по координатной сетке на графике.

В общем случае число делений на левой и правой оси может быть произвольным; для получения удобного вида достаточно, чтобы соотношение между ними было кратным (рис. 14).

Рис. 12



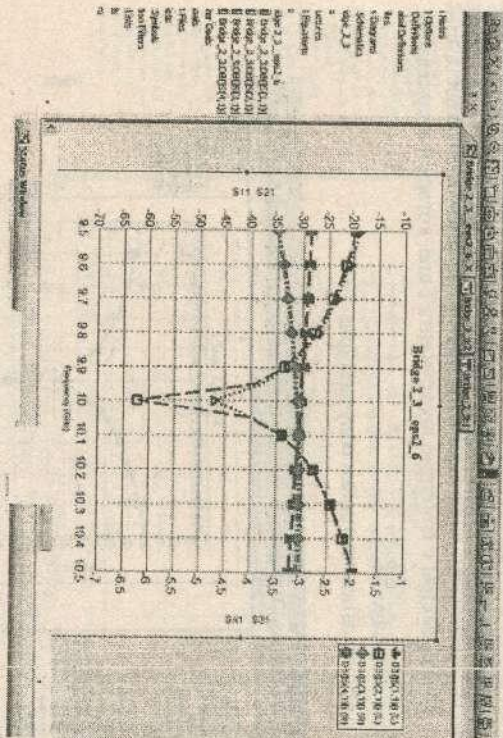


Рис. 14

Для более наглядного представления результатов можно добавить маркеры!, щелкнув правой кнопкой по полю графика и выбрав опцию **Add Marker**.

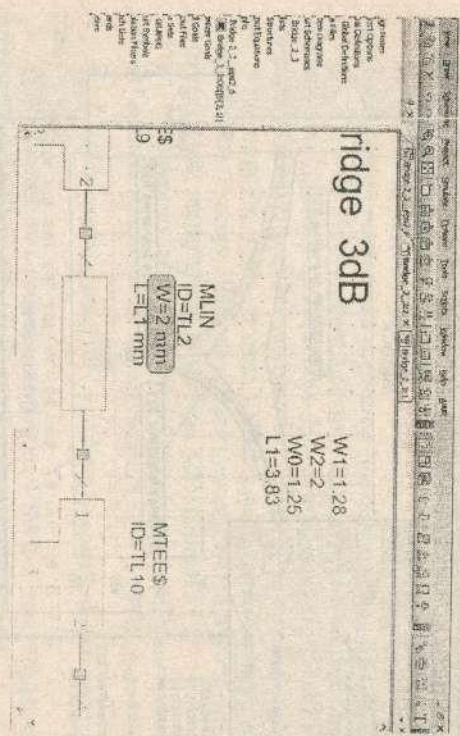
затем щелчком мыши указать точку, в которую необходимо по-
местить маркер.

Аналіз впливу пограничності ізготовлення елементів схеми

Среда Microsoft Office даёт возможность смоделировать влияние неточности изготовления элементов схемы на её параметры. Поскольку разброс параметров при изготовлении изделия носит случайный характер, при моделировании необходимо запустить параметрическое моделирование.

Выясним, например, как влияет изменение размера W линии TL2 на параметр S21. Для этого:

1. В подгруппе **Graph** примените команду **Toggle Enable** ко всем графикам, кроме S21.
 2. Вставьте в поле параметров элемента **Tl2** значение **W=2 mm**, полученное в процессе настройки моста (рис. 15).



MC.

3. Дважды щелкнув по элементу **112**, откроите окно параметров этого элемента, в нём закладку **Statistics**, отметьте окно **Use 11%**, вставьте процент разброса параметров (например, 5) в оконко **Г** (Допуск). В окне **Distribution** (закон распределения) имеется возможность изменения закона распределения моделируемой величины. Оставьте опцию **Normal** (Нормальный закон распределения).

4. Щелкнув правой кнопкой в поле графика, откроется окно Properties и в нем закладку Yield Data; щелкните в ней оконки Show Traces, Mean, Show Range и в активированемся окне выберите опцию MaxMin.

*5. Щелкните Simulate>Yield Analysis.

6. В открывшемся окне Yield Analysis введите в поле Maximum Iterations число итераций (на пример, 50) и щелкните кнопку Start. В результате моделирования получим графики (рис. 16).

Замечание: на описи на графике обозначены признаки тирозами.

Как видно, сравнительно небольшое отклонение размера W от оптимального (в нашем примере $+0,1 \text{ мм.}$) приводит к существенному изменению развязки между 1-м и 2-м пилонами моста. Поэтому при конструировании такого устройства целесообразно назначать размер W , при котором величина $S21$ будет соответствовать среднему значению развязки.

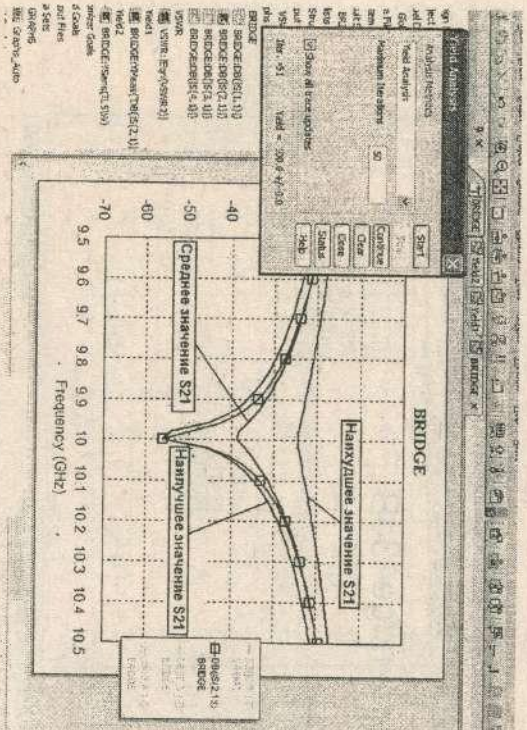


Рис. 16

Построение графика зависимости KCB от частоты

В среде **Microwave Office** возможно построение графиков других функций, производных от рассчитанных параметров, например, зависимости KCB по входам моста от частоты.

Как известно, KCB (**VSWR**) связано с коэффициентом отражения (**Gamma**):

$$\text{VSWR} = (1 + \text{Gamma}) / (1 - \text{Gamma}).$$

Поскольку $\text{Gamma} = \frac{S_{11}}{S_{22}}$, а в процессе моделирования определяется S_{11} , необходимо иметь соотношение, связывающее эти величины. Это реализуется с помощью опции **Output Equations**:

1. В панели **Project** щёлкните правой кнопкой по группе **Output Equations**, затем щёлкните левой кнопкой **New Output Equations**.
2. В открывшемся окне **New Output Equations** введите имя уравнения (например, **VSWR_equ**) и нажмите **Create**. Откроется окно **VSWR_equ**.

3. Щёлкните **Draw>Add Output Equation**. Откроется окно **Add Measurement**.

4. В окне **Variable name** введите имя новой переменной, тождественной S_{ii} , которая будет использована для расчёта KCB (например, **Gamma2**, если необходимо вычислить KCB по второму входу мостоподобника).

5. В окне **Measurement Type** отметьте **Port parameters** и в окне **Data Source Name** откройте имя источника (в нашем случае – **BRIDGE**).

6. В окне **Measurement Type** отметьте **Port Index** (Номер входного порта), нажмите на стрелки справа от них, затем нажмите **Apply**. В окне **VSWR_equ** появится прямогольник, криволинейный к курсору. Щёлкните левой кнопкой, в окне **VSWR_equ** появится уравнение, связывающее параметры S_{22} и Gamma2 .

7. Нажмите **Ctrl+E** и наберите второе уравнение, в котором переменная Gamma2 используется для вычисления KCB (**VSWR**, рис. 17).

8. Щёлкните по значку **Add New Graph** на панели инструментов. Введите имя графика, например, **VSWR** в поле **Graph name**, выберите **Rectangular** в области **Graph Type** и нажмите **Create**.

10. В панели **Project** щёлкните правой кнопкой мыши по названию нового графика и выберите **Add Measurement**.



Рис.17

11. В открывшемся окне «**Add Measurement to VSWR**», отметьте **Output Equations** в оконке **Measurement Type**, **Output Equations 1** в оконке **Document Name** и **VSWR** в оконке **Equation Name**. Щёлкните **OK**.

12. Щёлкните правой кнопкой по полю графика, в появившемся окне щёлкните опцию **Properties**, откройте закладку **Labels**. В окне **Choose**

Акс отмечте Left 1 и в оконке Selected Axis Label введите VSWR2. Щёлкните OK.

13. Щелкните Анализа на панели инструментов. Появится график зависимости КСВ от частоты(рис. 18).

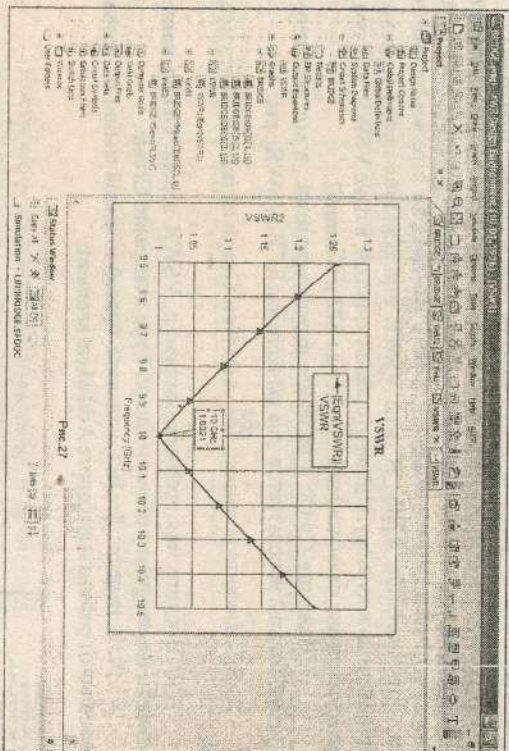


Рис. 18

Замечание: в последних версиях Microsoft Office график для КСВ можно получить значительно проще – с помощью той же процедуры, что, например, для Sii.

Порядок выполнения работы

1. Получить индивидуальный вариант задания на выполнение работы у преподавателя.
2. Переписать задание в рабочую тетрадь.

3. Изучить пользовательский интерфейс программы **Microwave Office**.
4. С использованием материалов настоящего пособия выполнить предварительный расчёт параметров элементов исследуемого устройства СВЧ. Результаты занести в рабочую тетрадь.

5. Запустить программу **Microwave Office**. Набрать в рабочем окне заданную схему устройства с использованием микрополосковых элементов. Рассчитать размеры элементов. Запустить моделирование.
6. С помощью элемента Type обеспечить выполнение требований, сформулированных в задании.
7. Дополнительные задания:
 - расчёт влияния погрешности изготовления,
 - расчёт зависимости КСВ или КВ от частоты.
8. Занести результаты моделирования в рабочую тетрадь.

Отчёт должен содержать:

- 1) схему, исходные данные и результаты предварительного расчёта;
- 2) технологию устройства с указанием размеров;
- 3) результаты моделирования.

Контрольные вопросы

1. Принцип действия шлейфного направленного ответителя.
2. Физические соотношения для волн на выходе шлейфного направленного ответителя.
3. Матрица рассеяния гибридного кольца при равных сдвигах на выходах.
4. Параметры, обеспечивающие неравное деление мощностей на выходах.
5. Принцип действия гибридного кольца.
6. Матрица рассеяния гибридного кольца при разных сдвигах на выходах.

7. Принцип действия и схема реализации дискретного фазовращателя на коммутируемых линиях.
8. Принцип действия и схема реализации дискретного фазовращателя на основе нагруженной линии.
9. Принцип действия и схема реализации проходных дискретных фазовращателей мостового типа.

Библиографический список

1. Сазонов Д.М. Антенны и устройства СВЧ. М.: Радио и связь, 1982.
2. Справочник по расчёту и конструированию СВЧ полосковых устройств/ под ред. В.И. Вольмана. М.: Радио и связь, 1987.
3. Резеви В.Д., Погатов Ю.В., Курушин А.А. Проектирование СВЧ устройств с помощью программы *Mcrowave Office*, М.: СОЛОН-Пресс, 2003.